

Отчет по лабораторной работе № 1.
Методы кодирования и модуляция сигналов

Данила Стариков
НПИбд-02-22

14 сентября 2024 г.

Содержание

1	Цель работы	3
2	Выполнение работы	4
2.1	Построение графиков в Octave	4
2.2	Разложение импульсного сигнала в частичный ряд Фурье	6
2.3	Определение спектра и параметров сигнала	8
2.4	Амплитудная модуляция	11
2.5	Кодирование сигнала. Исследование свойства самосинхронизации сигнала .	14
3	Выводы	23

1 Цель работы

Изучение методов кодирования и модуляции сигналов с помощью высокоуровневого языка программирования Octave. Определение спектра и параметров сигнала. Демонстрация принципов модуляции сигнала на примере аналоговой амплитудной модуляции. Исследование свойства самосинхронизации сигнала.

2 Выполнение работы

2.1 Построение графиков в Octave

1. Запустили Octave в режиме графического интерфейса.
2. Создали новый файл `plot_sin.m`. В нем повторили листинг, который строит график функции $y = \sin x + \frac{1}{3} \sin 3x + \frac{1}{5} \sin 5x$ на интервале $[-10; 10]$:

```
% Формирование массива x:
x=-10:0.1:10;
% Формирование массива y.
y1=sin(x)+1/3*sin(3*x)+1/5*sin(5*x);
% Построение графика функции:
plot(x,y1, "-ok; y1=sin(x)+
↪ (1/3)*sin(3*x)+(1/5)*sin(5*x);", "markersize", 4)
% Отображение сетки на графике
grid on;
% Подпись оси X:
xlabel('x');
% Подпись оси Y:
ylabel('y');
% Название графика:
title('y1=sin x+ (1/3)sin(3x)+(1/5)sin(5x)');
% Экспорт рисунка в файл .eps:
print ("plot-sin.eps", "-mono", "-FArial:16", "-deps")
% Экспорт рисунка в файл .png:
print("plot-sin.png");
```

3. При запуске программы вывели график запрограммированной функции, который был сохранен в файл `plotsin.png` 1:

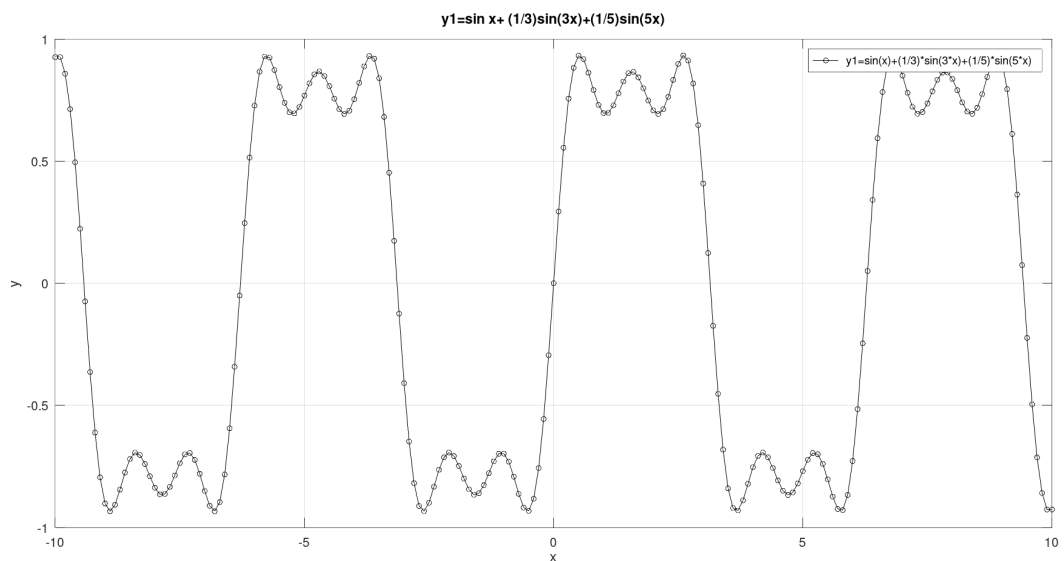


Рис. 1: График функции $y = \sin x + \frac{1}{3} \sin 3x + \frac{1}{5} \sin 5x$ на интервале $[-10; 10]$

4. В новом файле `plot_sin_cos.m` реализовали программу, которая строит на одном графике две линии, соответствующие функциям $y_1 = \sin x + \frac{1}{3} \sin 3x + \frac{1}{5} \sin 5x$, $y_2 = \cos x + \frac{1}{3} \cos 3x + \frac{1}{5} \cos 5x$:

```
% Формирование массива x:
x=-10:0.1:10;
% Формирование массива y.
y1=sin(x)+1/3*sin(3*x)+1/5*sin(5*x);
y2=cos(x)+1/3*cos(3*x)+1/5*cos(5*x);
% Построение графика функции:
plot(x,y1,"-ok; y1=sin(x)+(1/3)*sin(3*x)+(1/5)*sin(5*x);","markersize",4,
     ↪ x, y2, "; y2=cos(x)+(1/3)*cos(3*x)+(1/5)*cos(5*x);")
% Отображение сетки на графике
grid on;
% Подпись оси X:
xlabel('x');
% Подпись оси Y:
ylabel('y');
% Название графика:
title('y1=sin x+ (1/3)sin(3x)+(1/5)sin(5x); y2=cos
     ↪ x+(1/3)cos(3x)+(1/5)cos(5x)');
% Экспорт рисунка в файл .eps:
print ("plot-sincos.eps", "-mono", "-FArial:16", "-deps")
% Экспорт рисунка в файл .png:
print("plot-sincos.png");
```

5. В результате выполнения скрипта получен график, изображенный на Рисунке 2:

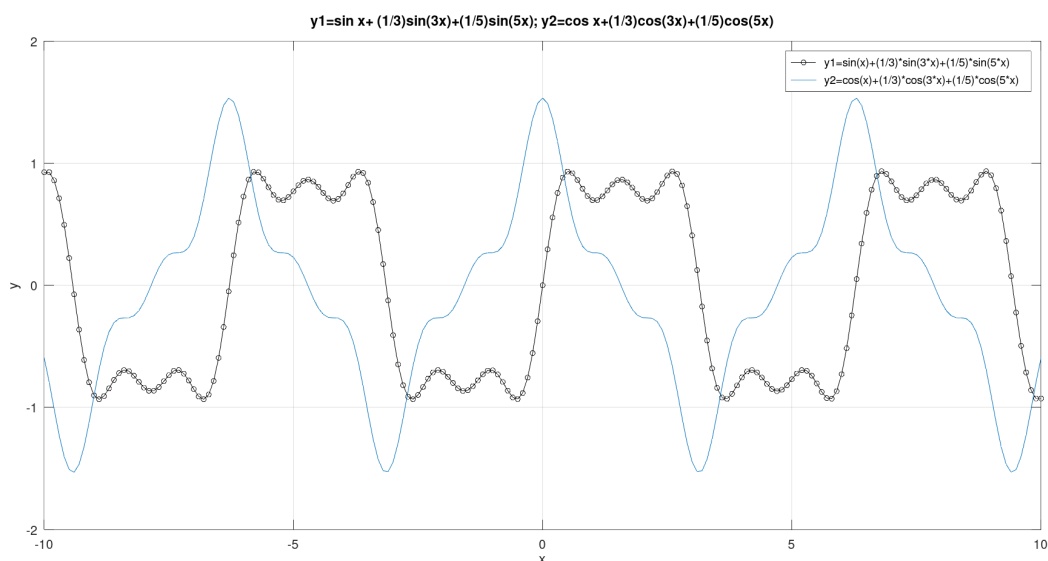


Рис. 2: График функций $y_1 = \sin x + \frac{1}{3} \sin 3x + \frac{1}{5} \sin 5x$, $y_2 = \cos x + \frac{1}{3} \cos 3x + \frac{1}{5} \cos 5x$ на интервале $[-10; 10]$

2.2 Разложение импульсного сигнала в частичный ряд Фурье

1. Создали новый файл `meandr_sin.m`, в котором реализовали программу, которая строит графики меандра с разными числом гармоник, используя синусы (Рисунок 3). Листинг программы представлен ниже:

```
% meandr.m
% количество отсчетов (гармоник):
N=8;
% частота дискретизации:
t=-1:0.01:1;
% значение амплитуды
A=1;
% период:
T=1;
% амплитуда гармоник
nh=(1:N)*2-1;
% массив коэффициентов для ряда, заданного через cos:
Am=2/pi ./ nh;
%Am(2:2:end) = -Am(2:2:end);
% массив гармоник:
harmonics=sin(2 * pi * nh' * t/T);
% массив элементов ряда:
s1=harmonics.*repmat(Am',1,length(t));
% Суммирование ряда:
s2=cumsum(s1);
% Построение графиков:
for k=1:N
    subplot(4,2,k)
    plot(t, s2(k,:))
    xticks(-1:.5:1)
    yticks(-1:.5:1)
end
% Экспорт рисунка в файл .png:
print("plot-meandr-sin.png");
```

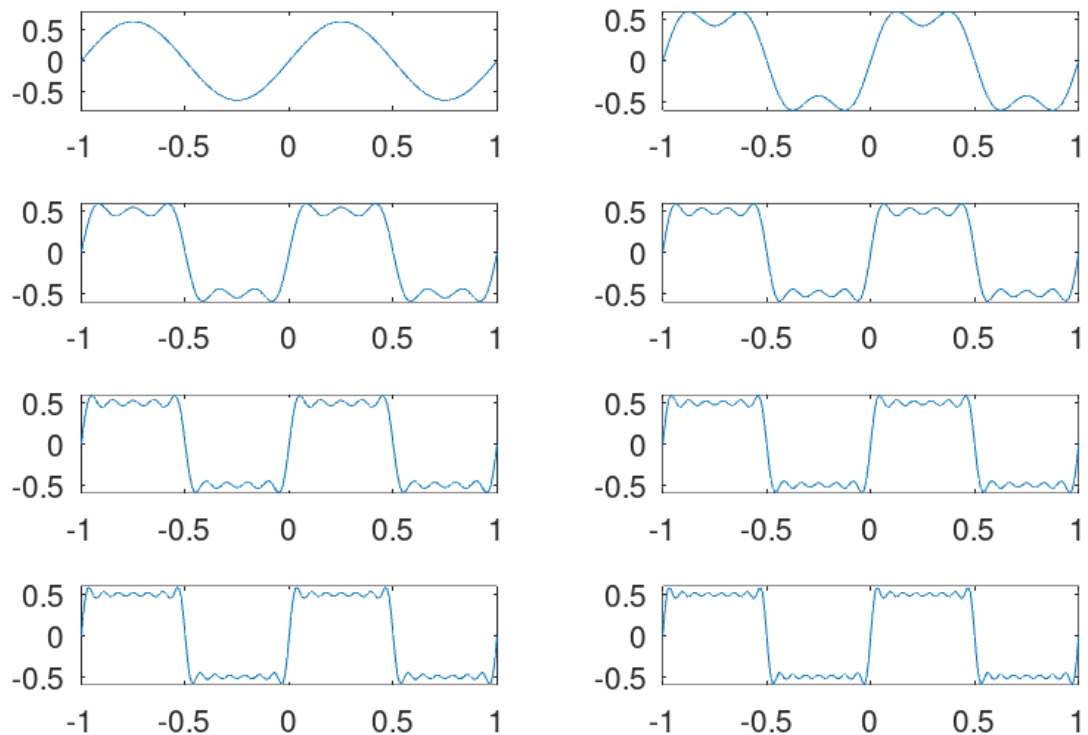


Рис. 3: Графики меандра, с различным числом гармоник (синусы).

2. Создали новый файл `meandr_cos.m`, в котором реализовали программу, которая строит графики меандра с разными числом гармоник, используя косинусы (Рисунок 4). Листинг программы представлен ниже:

```
% meandr.m
% количество отсчетов (гармоник):
N=8;
% частота дискретизации:
t=-1:0.01:1;
% значение амплитуды
A=1;
% период:
T=1;

% амплитуда гармоник
nh=(1:N)*2-1;
% массив коэффициентов для ряда, заданного через cos:
Am=2/pi ./ nh;
Am(2:2:end) = -Am(2:2:end);
% массив гармоник:
harmonics=cos(2 * pi * nh' * t/T);
% массив элементов ряда:
s1=harmonics.*repmat(Am',1,length(t))
% Суммирование ряда:
```

```

s2=cumsum(s1);
% Построение графиков:
for k=1:N
    subplot(4,2,k)
    plot(t, s2(k,:))
    xticks(-1:.5:1)
    yticks(-1:.5:1)
end

% Экспорт рисунка в файл .png:
print("plot-meandr-cos.png");

```

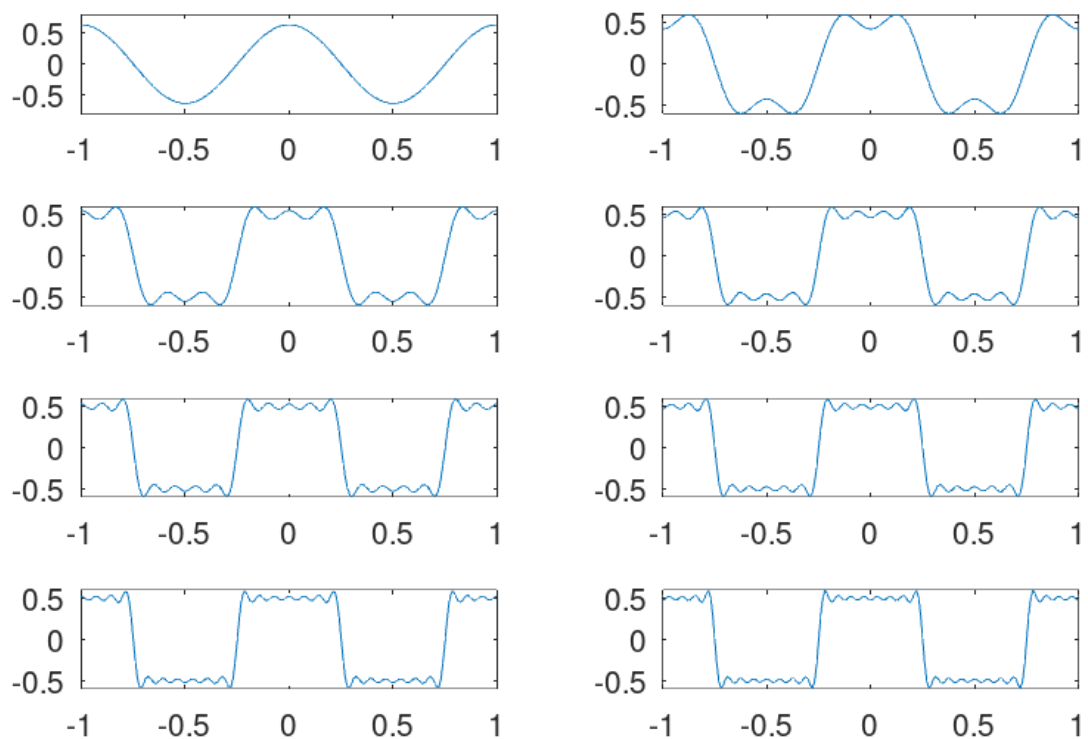


Рис. 4: графики меандра, с различным числом гармоник (косинусы).

2.3 Определение спектра и параметров сигнала

1. Создали каталог `spectre1` и в нем файл `spectre.m`. В файле реализовали программу, которая строит график с двумя сигналами разной частоты, затем с помощью быстрого преобразования Фурье находит спектры этих сигналов (Рисунки 5-7)

```

% spectre1/spectre.m
% Создание каталогов signal и spectre для размещения графиков:
mkdir 'signal';

```



```

mkdir 'spectre';
% Длина сигнала (с):
tmax = 0.5;
% Частота дискретизации (Гц) (количество отсчётов):
fd = 512;
% Частота первого сигнала (Гц):
f1 = 10;
% Частота второго сигнала (Гц):
f2 = 40;
% Амплитуда первого сигнала:
a1 = 1;
% Амплитуда второго сигнала:
a2 = 0.7;
% Массив отсчётов времени:
t = 0:1./fd:tmax;
% Спектр сигнала:
fd2 = fd/2;

% Два сигнала разной частоты:
signal1 = a1*sin(2*pi*t*f1);
signal2 = a2*sin(2*pi*t*f2);

% График 1-го сигнала:
plot(signal1,'b');
% График 2-го сигнала:
hold on
plot(signal2,'r');
hold off
title('Signal');
% Экспорт графика в файл в каталоге signal:
print 'signal/spectre.png';

% Посчитаем спектр
% Амплитуды преобразования Фурье сигнала 1:
spectre1 = abs(fft(signal1,fd));
% Амплитуды преобразования Фурье сигнала 2:
spectre2 = abs(fft(signal2,fd));
% Построение графиков спектров сигналов:
plot(spectre1,'b');
hold on
plot(spectre2,'r');
hold off
title('Spectre');
print 'spectre/spectre.png';

% Исправление графика спектра
% Сетка частот:

```

```

f = 1000*(0:fd2)./(2*fd);
% Нормировка спектров по амплитуде:
spectre1 = 2*spectre1/fd2;
spectre2 = 2*spectre2/fd2;
% Построение графиков спектров сигналов:
plot(f,spectre1(1:fd2+1),'b');
hold on
plot(f,spectre2(1:fd2+1),'r');
hold off
xlim([0 100]);
title('Fixed spectre');
xlabel('Frequency (Hz)');
print 'spectre/spectre_fix.png';

```

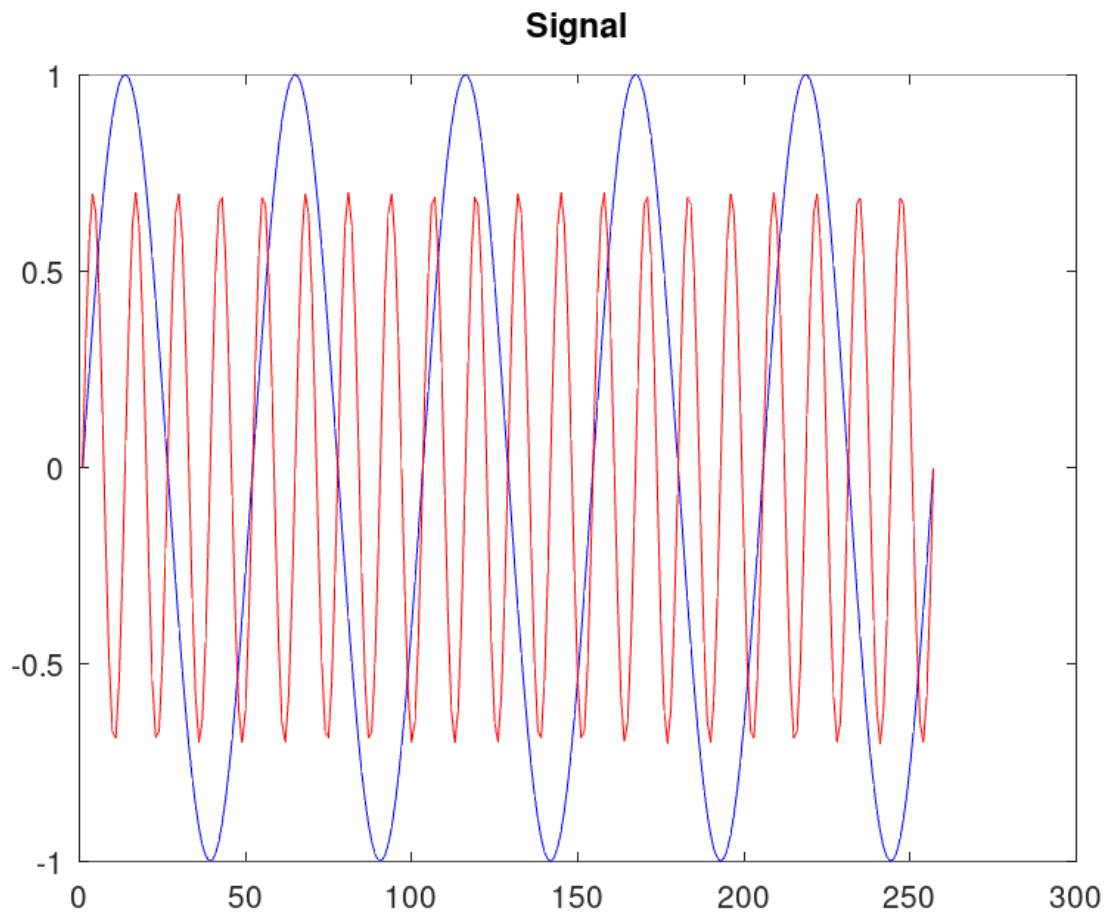


Рис. 5: Два синусоидальных сигнала разной частоты.

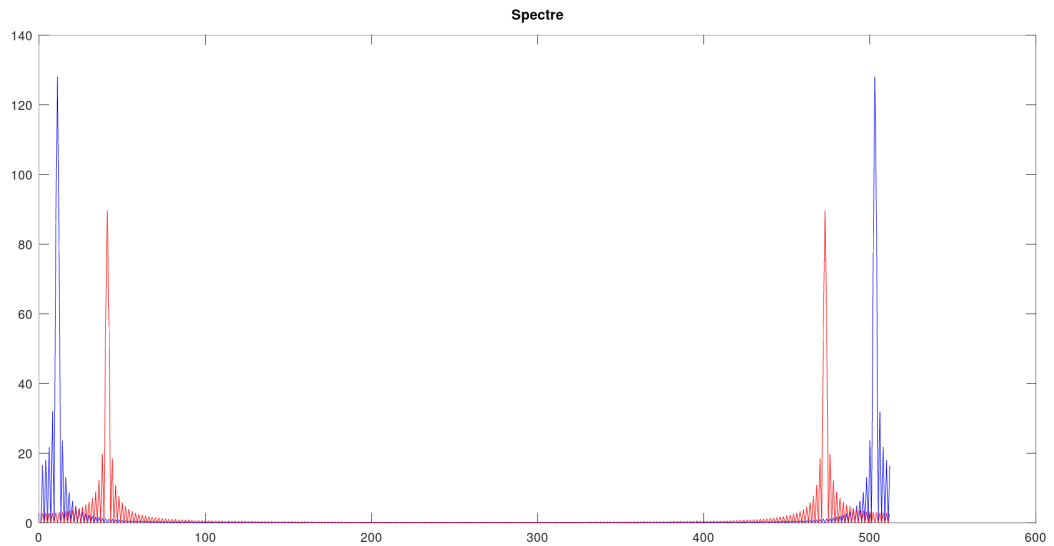


Рис. 6: График спектров синусоидальных сигналов.

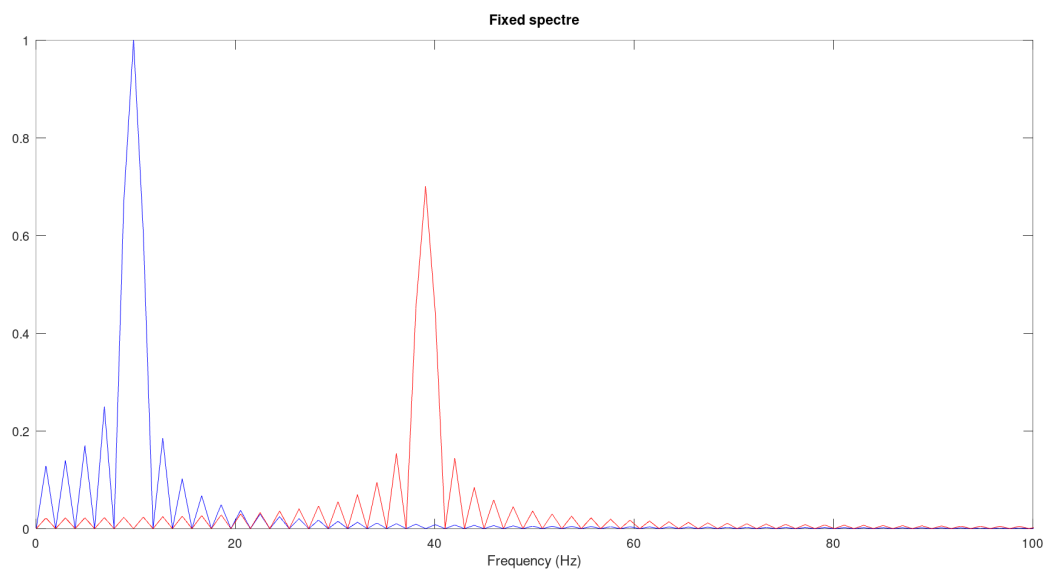


Рис. 7: Исправленный график спектров синусоидальных сигналов.

2.4 Амплитудная модуляция

1. Создали каталог `modulation` и в нем файл `am.m`. В файле реализовали программу, которая определяет спектр сигнала при амплитудной модуляции и строит соответствующие графики (Рисунки 8, 9):

```
% modulation/am.m
% Создание каталогов signal и spectre для размещения графиков:
mkdir 'signal';
mkdir 'spectre';
```

```

% Модуляция синусоид с частотами 50 и 5
% Длина сигнала (с)
tmax = 0.5;
% Частота дискретизации (Гц) (количество отсчётов)
fd = 512;
% Частота сигнала (Гц)
f1 = 5;
% Частота несущей (Гц)
f2 = 50;
% Спектр сигнала
fd2 = fd/2;
% Построение графиков двух сигналов (синусоиды)
% разной частоты
% Массив отсчётов времени:
t = 0:1./fd:tmax;
signal1 = sin(2*pi*t*f1);
signal2 = sin(2*pi*t*f2);
signal = signal1 .* signal2;
plot(signal, 'b');
hold on
% Построение огибающей:
plot(signal1, 'r');
plot(-signal1, 'r');
hold off
title('Signal');
print 'signal/am.png';
% Расчет спектра:
% Амплитуды преобразования Фурье-сигнала:
spectre = fft(signal,fd);
% Сетка частот:
f = 1000*(0:fd2)./(2*fd);
% Нормировка спектра по амплитуде:
spectre = 2*sqrt(spectre.*conj(spectre))./fd2;
% Построение спектра:
plot(f,spectre(1:fd2+1), 'b')
xlim([0 100]);
title('Spectre');
xlabel('Frequency (Hz)');
print 'spectre/am.png';

```

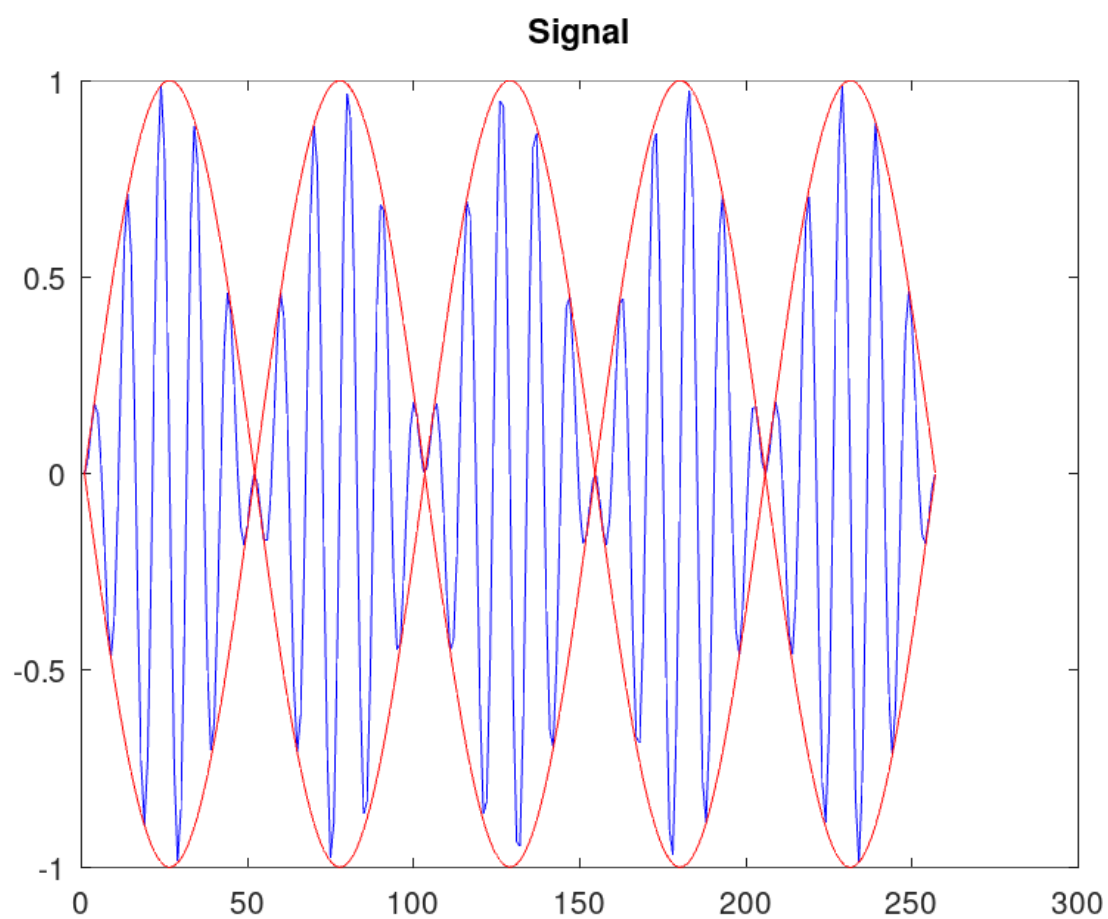


Рис. 8: Сигнал и огибающая при амплитудной модуляции.

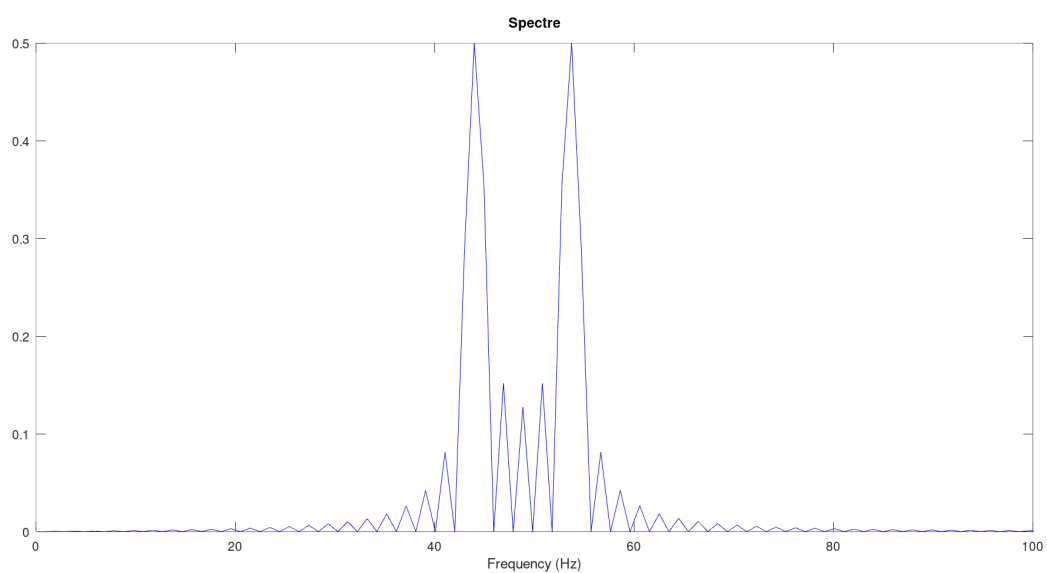


Рис. 9: Спектр сигнала при амплитудной модуляции.

2.5 Кодирование сигнала. Исследование свойства самосинхронизации сигнала

1. Создали каталог `coding` и в нем файлы: `main.m`, `maptowave.m`, `unipolar.m`, `ami.m`, `bipolarnrz.m`, `bipolarrz.m`, `manchester.m`, `diffmanc.m`, `calcspectre.m`.

2. Листинги каждого файла приведены ниже:

- В файле `maptowave.m`:

```
% coding/maptowave.m
function wave=maptowave(data)
    data=upsample(data,100);
    wave=filter(5*ones(1,100),1,data);
```

- В файле `unipolar.m`:

```
% coding/unipolar.m
% Униполярное кодирование:
function wave=unipolar(data)
    wave=maptowave(data)
```

- В файле `ami.m`:

```
% coding/ami.m
% Кодирование AMI:
function wave=ami(data)
    am=mod(1:length(data(data==1)),2);
    am(am==0)=-1;
    data(data==1)=am;
    wave=maptowave(data);
```

- В файле `bipolarnrz.m`:

```
% coding/bipolarnrz.m
% Кодирование NRZ:
function wave=bipolarnrz(data)
    data(data==0)=-1;
    wave=maptowave(data);
```

- В файле `bipolarrz.m`:

```
% coding/bipolarrz.m
% Кодирование RZ:
function wave=bipolarrz(data)
    data(data==0)=-1;
    data=upsample(data,2);
    wave=maptowave(data);
```

- В файле `manchester.m`:

```
% coding/manchester.m
% Манчестерское кодирование:
function wave=manchester(data)
    data(data==0)=-1;
    data=upsample(data,2);
```

- ```

data=filter([-1 1],1,data);
wave=maptowave(data);

```
- В файле `diffmanc.m`:

```

% coding/diffmanc.m
% Дифференциальное манчестерское кодирование
function wave=diffmanc(data)
 data=filter(1,[1 1],data);
 data=mod(data,2);
 wave=manchester(data);

```
  - В файле `calcspectre.m`:

```

% calcspectre.m
% Функция построения спектра сигнала:
function spectre = calcspectre(wave)
 % Частота дискретизации (Гц):
 Fd = 512;
 Fd2 = Fd/2;
 Fd3 = Fd/2 + 1;
 X = fft(wave,Fd);
 spectre = X.*conj(X)/Fd;
 f = 1000*(0:Fd2)/Fd;
 plot(f,spectre(1:Fd3));
 xlabel('Frequency (Hz)');

```
  - В файле `main.m`:

```

% coding/main.m
% Подключение пакета signal:
pkg load signal;
% Входная кодовая последовательность:
data=[0 1 0 0 1 1 0 0 0 1 1 0];
% Входная кодовая последовательность для проверки свойства
↪ самосинхронизации:
data_sync=[0 0 0 0 0 0 0 1 1 1 1 1 1 1];
% Входная кодовая последовательность для построения спектра сигнала:
data_spectre=[0 1 0 1 0 1 0 1 0 1 0 1 0 1];
% Создание каталогов signal, sync и spectre для размещения графиков:
mkdir 'signal';
mkdir 'sync';
mkdir 'spectre';
axis("auto");

% Униполярное кодирование
wave=unipolar(data);
plot(wave);
ylim([-1 6]);
title('Unipolar');
print 'signal/unipolar.png';
% Кодирование атi

```

```

wave=ami(data);
plot(wave)
title('AMI');
print 'signal/ami.png';
% Кодирование NRZ
wave=bipolarnrz(data);
plot(wave);
title('Bipolar Non-Return to Zero');
print 'signal/bipolarnrz.png';
% Кодирование RZ
wave=bipolarrz(data);
plot(wave)
title('Bipolar Return to Zero');
print 'signal/bipolarrz.png';
% Манчестерское кодирование
wave=manchester(data);
plot(wave)
title('Manchester');
print 'signal/manchester.png';
% Дифференциальное манчестерское кодирование
wave=diffmanc(data);
plot(wave)
title('Differential Manchester');
print 'signal/diffmanc.png';

% Униполярное кодирование
wave=unipolar(data_sync);
plot(wave);
ylim([-1 6]);
title('Unipolar');
print 'sync/unipolar.png';
% Кодирование AMI
wave=ami(data_sync);
plot(wave)
title('AMI');
print 'sync/ami.png';
% Кодирование NRZ
wave=bipolarnrz(data_sync);
plot(wave);
title('Bipolar Non-Return to Zero');
print 'sync/bipolarnrz.png';
% Кодирование RZ
wave=bipolarrz(data_sync);
plot(wave)
title('Bipolar Return to Zero');
print 'sync/bipolarrz.png';
% Манчестерское кодирование

```



```

wave=manchester(data_sync);
plot(wave)
title('Manchester');
print 'sync/manchester.png';
% Дифференциальное манчестерское кодирование
wave=diffmanc(data_sync);
plot(wave)
title('Differential Manchester');
print 'sync/diffmanc.png';

% Униполярное кодирование:
wave=unipolar(data_spectre);
spectre=calcspectre(wave);
title('Unipolar');
print 'spectre/unipolar.png';
% Кодирование AMI:
wave=ami(data_spectre);
spectre=calcspectre(wave);
title('AMI');
print 'spectre/ami.png';
% Кодирование NRZ:
wave=bipolarnrz(data_spectre);
spectre=calcspectre(wave);
title('Bipolar Non-Return to Zero');
print 'spectre/bipolarnrz.png';
% Кодирование RZ:
wave=bipolarrz(data_spectre);
spectre=calcspectre(wave);
title('Bipolar Return to Zero');
print 'spectre/bipolarrz.png';
% Манчестерское кодирование:
wave=manchester(data_spectre);
spectre=calcspectre(wave);
title('Manchester');
print 'spectre/manchester.png';
% Дифференциальное манчестерское кодирование:
wave=diffmanc(data_spectre);
spectre=calcspectre(wave);
title('Differential Manchester');
print 'spectre/diffmanc.png';

```

3. После запуска главного скрипта `main.m` получены файлы с графиками кодированного сигнала: графики кодированного сигнала (Рис. 10-15), графики, иллюстрирующие свойства самосинхронизации (Рис. 16-21), графики спектров сигналов (Рис. 22-27):

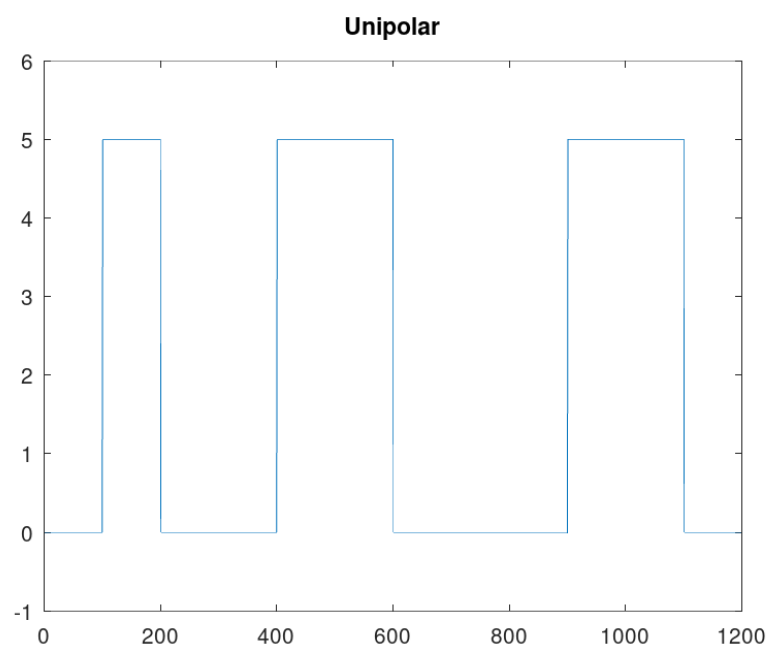


Рис. 10: Униполярное кодирование.

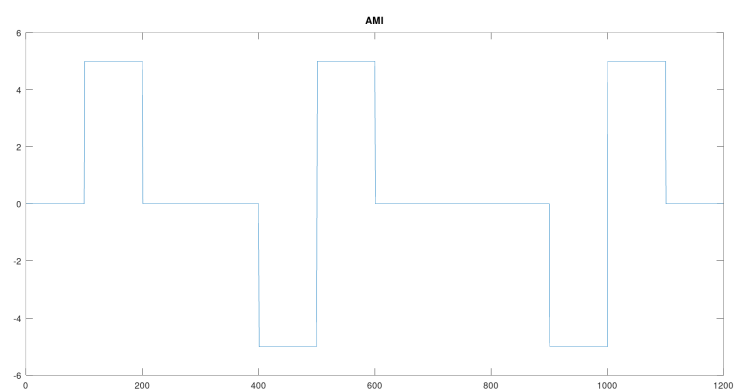


Рис. 11: Кодирование AMI.

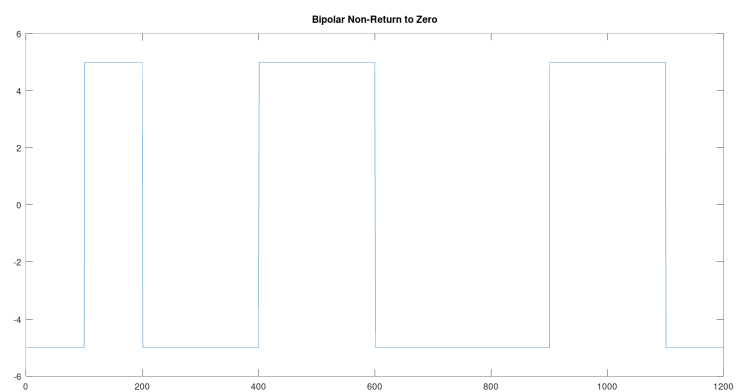


Рис. 12: Кодирование NRZ

Рис. 13: Кодирование RZ

Рис. 14: Манчестрерское кодирование.

Рис. 15: Дифференциальное манчестерское кодирование.

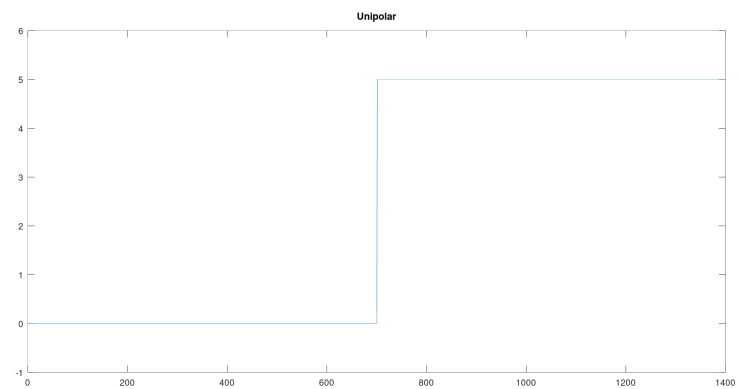


Рис. 16: Униполярное кодирование: нет синхронизации.

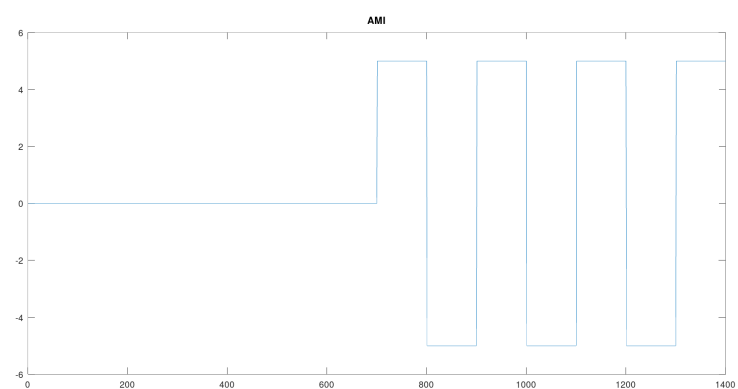


Рис. 17: Кодирование AMI: самосинхронизация при наличии сигнала.

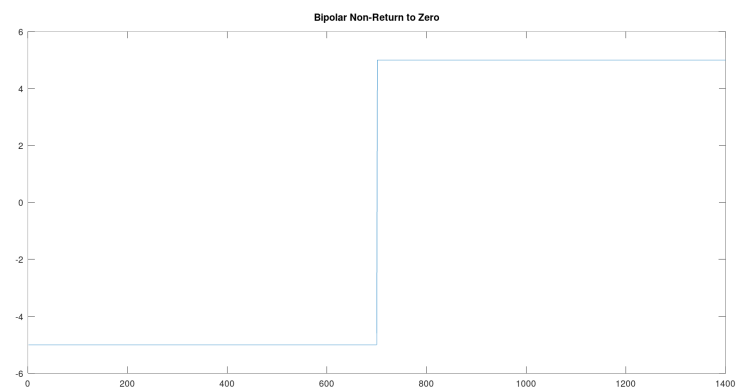


Рис. 18: Кодирование NRZ: нет самосинхронизации.

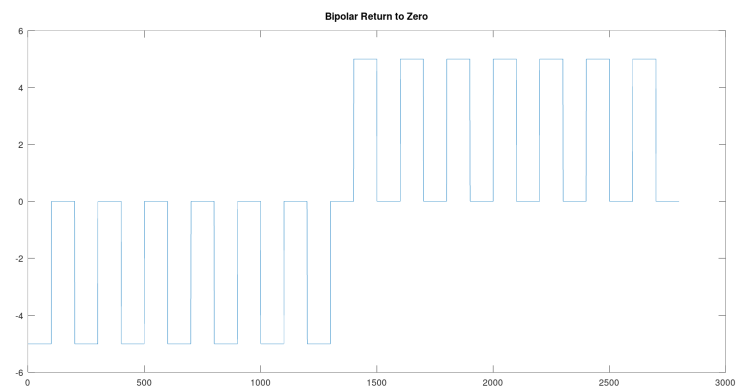


Рис. 19: Кодирование RZ: есть самосинхронизация

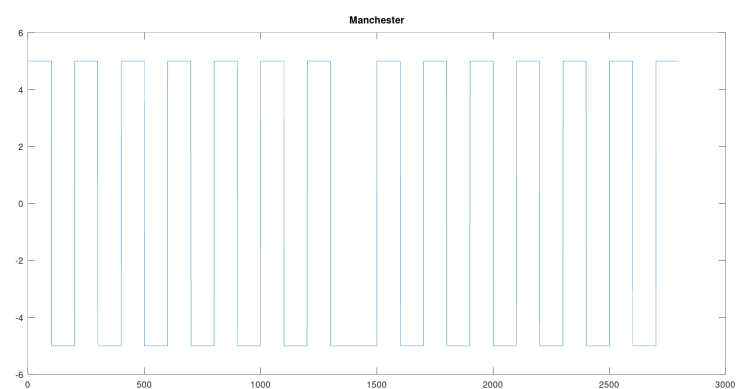


Рис. 20: Манчестерское кодирование: есть самосинхронизация

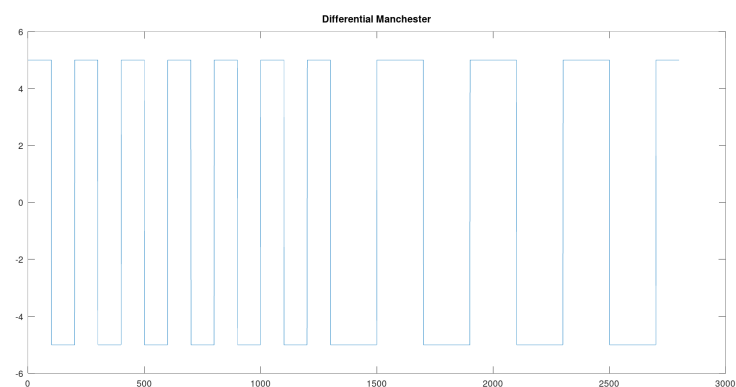


Рис. 21: Дифференциальное манчестерское кодирование: есть самосинхронизация

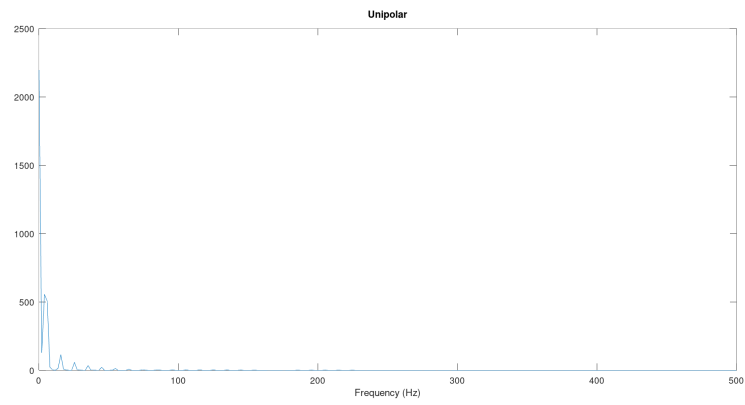


Рис. 22: Униполярное кодирование: спектр сигнала

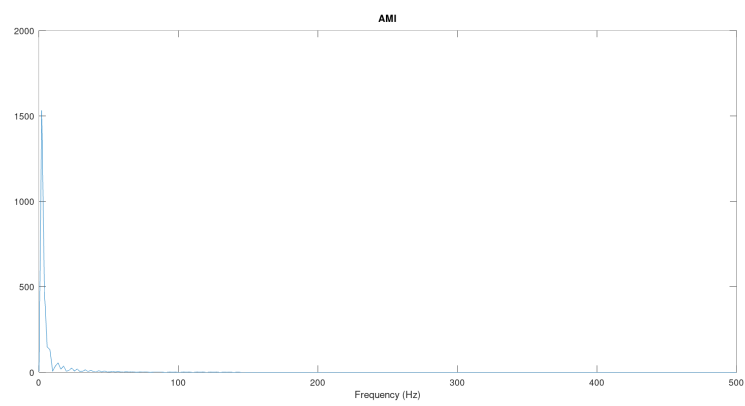


Рис. 23: Кодирование AMI: спектр сигнала

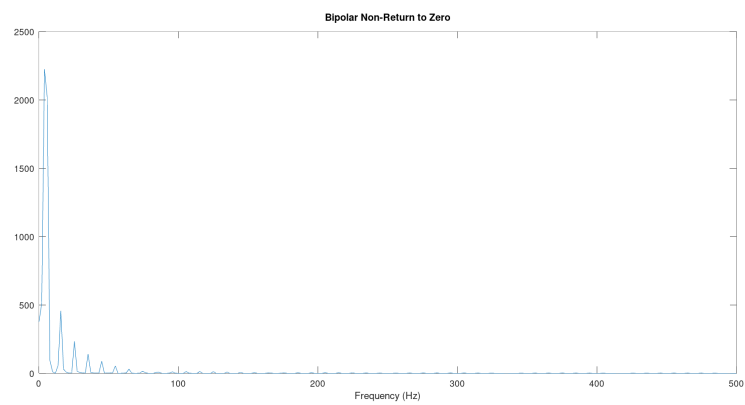


Рис. 24: Кодирование NRZ: спектр сигнала

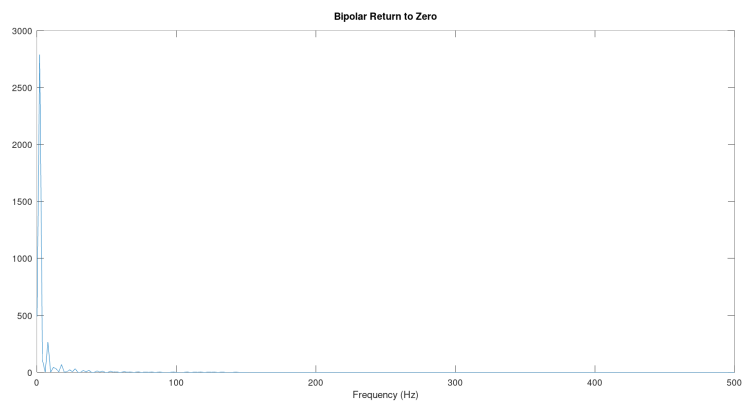


Рис. 25: Кодирование RZ: спектр сигнала

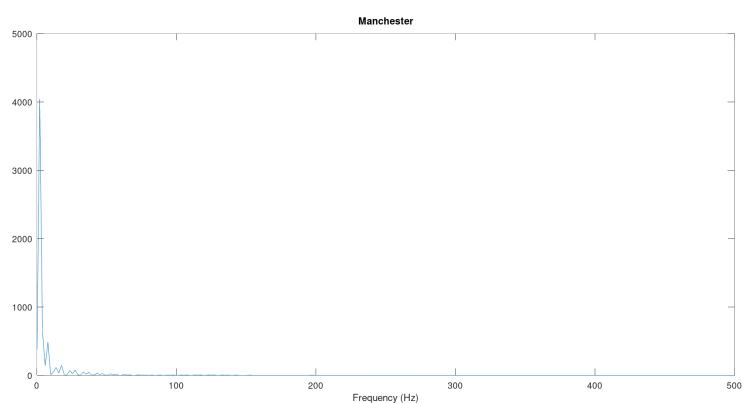


Рис. 26: Манчестерское кодирование: спектр сигнала

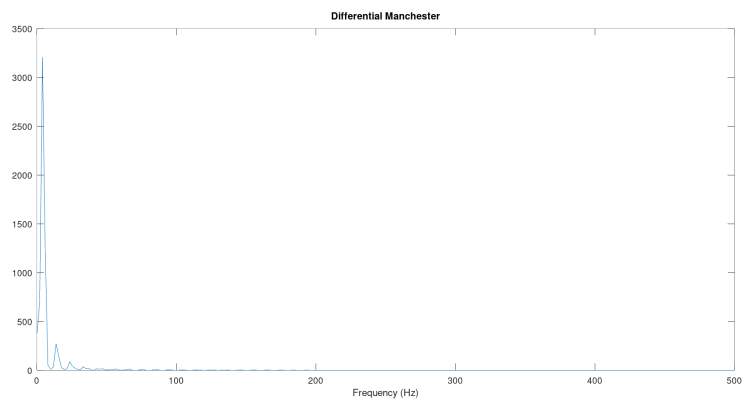


Рис. 27: Дифференциальное манчестерское кодирование: спектр сигнала

### 3 Выводы

В рамках выполнения лабораторной работы изучили методы кодирования и модуляции сигналов с помощью высокоуровневого языка программирования Octave, в том числе познакомились с принципами модуляции сигнала на примере аналоговой амплитудной модуляции, исследовали свойства самосинхронизации сигнала.